

## key words

Photocatalytic reduction  
of Carbon dioxide

Titanium oxide  
modification

Renewable methane

Renewable methane

impregnation of copper

# Photocatalytic Reduction of Carbon dioxide to Renewable Methane using Titanium dioxide modified with Bismuth and Copper

Mohsen Moradi<sup>a</sup>, Afsanehsadat Larimi<sup>b\*</sup>, Farhad Khorasheh<sup>a</sup>,  
Reza Nematollahi<sup>a</sup>

a- Department of Chemical and Petroleum Engineering, Sharif University of  
Technology, Tehran, Iran

b-Department of chemical and process engineering, Niroo research institute,  
Tehran, Iran

## Abstract

**Research Subject:** The conversion of anthropogenesis CO<sub>2</sub> gas into value-add chemicals known as solar fuel technology attracted much consideration from the beginning of the 21st century owing to the potential of this technology in solving the climate change and energy shortage issues.

**Research Approach:** In the current study, Bismuth and copper modified TiO<sub>2</sub> were prepared using sol-gel and wet impregnation method in order to investigate as a catalyst for photocatalytic conversion of carbon dioxide into renewable methane.

**Main Results:** The results of X-ray diffraction analysis, Field emission scanning microscope images and Transmission electron microscope images demonstrated that titanium dioxide nanoparticles with 20 nm in size were synthesized that after the addition of bismuth, the size of particles became smaller. Also, using energy dispersive x-ray analysis and elemental mapping technique, it was determined that the bismuth and copper were uniformly inserted in the prepared nanoparticles. Diffuse reflectance spectroscopy showed that the bandgap became smaller in bismuth and copper-containing samples, which resulted in visible light absorption. In addition, photoluminescence spectroscopy showed an impressive decrease in the rate of electron-hole separation in the prepared nanocomposite. The result of CO<sub>2</sub> photoreduction experiments revealed that the incorporation of 3 wt% Bismuth and 1.5 wt% copper into the structure of TiO<sub>2</sub> would increase the amount of methane production to 7.6 times greater than bare TiO<sub>2</sub>. This superior activity for methane generation could be related to the ability of bismuth compounds in adsorption and activation of carbon dioxide molecules and also the efficient separation of charge carriers given by copper. Additionally, the smaller particle size and increase in the surface area had also a positive effect on the CO<sub>2</sub> reduction enhancement.

\*To whom correspondence should be addressed:

alarimi@nri.ac.ir

## احیای فوتوکاتالیستی دی اکسید کربن به متان تجدیدپذیر توسط دی اکسید تیتانیوم اصلاح شده با بیسموت و مس

محسن مرادی<sup>۱</sup>، افسانه سادات لاریمی<sup>۲\*</sup>، فرهاد خراشه<sup>۱</sup>، رضا نعمت الهی<sup>۱</sup>

۱-دانشکده مهندسی شیمی و نفت، دانشگاه صنعتی شریف، تهران، ایران  
۲-گروه پژوهشی شیمی و فرایند، پژوهشگاه نیرو، تهران، ایران

### چکیده

تبدیل گاز گلخانه‌ای دی اکسید کربن به مواد شیمیایی با ارزش افزوده که به عنوان فناوری سوخت‌های خورشیدی شناخته شده است به دلیل داشتن پتانسیل رفع هم‌زمان مشکل گرمایش جهانی و محدودیت منابع انرژی، از آغاز قرن بیست و یکم توجه زیادی را به خود جلب کرده است. در همین راستا، در پژوهش حاضر فوتوکاتالیست دی اکسید تیتانیوم ( $\text{TiO}_2$ ) اصلاح شده با بیسموت و مس ( $\text{CuBiT}$ )، با استفاده از روش سل ژل و تلقیح مرطوب تهیه شده و به عنوان کاتالیزور در تبدیل فوتوکاتالیستی دی اکسید کربن به متان تجدیدپذیر ارزیابی شد. نتایج آزمون‌های پراش پرتو ایکس ( $\text{XRD}$ )، تصاویر میکروسکوپ الکترونی گسیل میدانی ( $\text{FESEM}$ ) و میکروسکوپ الکترونی عبوری ( $\text{TEM}$ ) صحت ساخت نانوذرات  $\text{TiO}_2$  با اندازه بلورهای حدود ۲۰ نانومتر را تأیید کردند که با افزودن بیسموت به ساختار آن، اندازه ذرات کوچک‌تر شدند. همچنین، به کمک آزمون‌های طیف-سنجی انرژی پرتو ایکس ( $\text{EDX}$ ) و آزمون پراکندگی عناصر ( $\text{Elemental mapping}$ ) مشخص شد که بیسموت و مس به طور یکنواخت در ساختار نانوذرات وارد شده‌اند. آزمون طیف سنجی بازتاب پخششی ( $\text{DRS}$ ) نیز کوچک‌تر شدن گاف انرژی را در نمونه‌های حاوی بیسموت و مس نشان داد که موجب جذب نور در ناحیه مرئی می‌شود. به علاوه، نتایج آزمون طیف سنجی فوتولومینسانس ( $\text{PL}$ ) نیز کاهش چشمگیر نرخ بازترکیبی الکترون و حفره‌ها را در نانوکامپوزیت تهیه شده نشان می‌دهد. نتایج آزمایش‌های احیای دی اکسید کربن مشخص کرد که وارد کردن ۳ درصد وزنی بیسموت و ۱/۵ درصد وزنی از مس در ساختار  $\text{TiO}_2$  میزان تولید متان را نسبت به  $\text{TiO}_2$  خالص تا ۶/۳ برابر افزایش خواهد یافت. این فعالیت فوق‌العاده در تولید متان را می‌توان به توانایی ترکیبات بیسموت در جذب و فعال‌سازی مولکول‌های دی اکسید کربن و جداسازی موثر حاملان بار که به وسیله مس ایجاد شده است، نسبت داد. مزید بر موارد مذکور، کوچک‌تر شدن اندازه ذرات در کنار افزایش سطح ویژه کاتالیست نیز نقش مثبت قابل توجهی در بهبود بازده احیای دی اکسید کربن داشته است.

فصلنامه علمی - پژوهشی بین رشته‌ای  
سال چهارم، شماره ۳، نسخه ۱  
پاییز ۱۳۹۹، صفحه ۴۳-۵۵

### کلمات کلیدی

احیای فوتوکاتالیستی

دی اکسید کربن

اصلاح دی اکسید تیتانیوم

متان تجدیدپذیر

تلقیح مس

\*مسئول مکاتبات:

alarimi@nri.ac.ir

## ۱ مقدمه

افزایش جمعیت، مهم ترین عامل افزایش تقاضای انرژی در جهان است. براساس پیش بینی های انجام گرفته، جمعیت جهان تا سال ۲۰۵۰ به ۹/۴ میلیارد نفر خواهد رسید. بر همین اساس، میزان مصرف انرژی تا سال ۲۰۵۰ دو برابر و تا پایان قرن به سه برابر مقدار کنونی خواهد رسید. این افزایش مصرف انرژی مستقیماً منجر به افزایش انتشار بی روبه دی اکسید کربن حاصل از احتراق سوخت های فسیلی به درون جو زمین می شود [۱]. تجمع دی اکسیدکربن در جو به دلیل اثر گلخانه ای باعث گرم شدن کره زمین می شود که آثار آن در قالب ذوب شدن یخ های قطبی، افزایش سطح آب دریاها و غیریکنواختی بارش ها در سطح زمین نمایان شده است. از این رو، تلاش برای رفع مشکل دی اکسیدکربن مورد توجه محققان بسیاری قرار گرفته است و راهکارهای متفاوتی برای رویارویی با این مشکل مانند جذب دی اکسیدکربن و تزریق آن به درون زمین، حرکت به سمت انرژی های تجدیدپذیر و کاهش وابستگی به منابع نفت و گاز پیشنهاد شده است. شایان گفتن است که به دلیل وابستگی زیرساخت های فعلی به منابع فسیلی، امکان انتقال سریع به انرژی های تجدیدپذیر و پاک وجود ندارد. درضمن، این واقعیت را باید در نظر داشت که انرژی های تجدیدپذیر کنونی مانند انرژی باد، برق آبی، زمین گرمایی و زیست توده در بهترین شرایط، ظرفیت لازم را برای تأمین انرژی جهان به خصوص با این آهنگ افزایش، ندارند [۲]. بر این اساس، نیاز به انرژی تجدیدپذیر جدید با ظرفیت بالا اجتناب ناپذیر است. در این میان، انرژی خورشیدی بالاترین ظرفیت را در میان سایر انرژی های تجدیدپذیر دارد. خورشید به مراتب هزاران برابر بیش تر از مقدار انرژی مورد نیاز بشر را به زمین می دهد. در این راستا، توسعه انرژی های تجدیدپذیر مبتنی بر نور خورشید یکی از راهکارهای مناسب برای تأمین انرژی در آینده است. فرایند فوتوسنتز مصنوعی یا به عبارتی احیای فوتوکاتالیستی دی اکسیدکربن روشی نسبتاً نوین و مناسب است که می تواند علاوه بر جمع آوری و ذخیره سازی انرژی بی پایان خورشید به مواد با ارزش افزوده، از طریق مصرف دی اکسیدکربن اثرات منفی گازهای گلخانه ای را نیز کاهش دهد [۳]. در این فرایند انرژی فراوان و تجدیدپذیر خورشید به کمک فوتوکاتالیست ها، دی اکسید کربن و آب را به هیدروکربن های سبک تبدیل می کند. این واکنش با توجه به نوع فوتوکاتالیست، محصولات گوناگونی از هیدروکربن های تک-کربنی مانند متان، فرمیک اسید و متانول و ترکیبات چندکربنی مانند اتان و اتیلن را تولید می کند که برای تولید انرژی یا به-عنوان ماده اولیه صنایع شیمیایی کاربردهای گوناگونی دارند [۴].

تاکنون نیمه رساناهای مختلفی به عنوان فوتوکاتالیست در فرایند تبدیل دی اکسیدکربن به مواد با ارزش افزوده استفاده شده اند که یکی از مشهور ترین آن ها دی اکسیدتیتانیوم ( $\text{TiO}_2$ ) بوده است. این ماده که بیش ترین تحقیقات در احیای دی-اکسیدکربن بر روی آن انجام شده است به سبب پایداری بالا، خواص فیزیکی و شیمیایی مناسب، قیمت پایین و خواص خودتمیزشوندگی کاربردهای گسترده ای را در زمینه های مختلف به خود اختصاص داده است [۵].  $\text{TiO}_2$  خالص به دلیل ویژگی هایی مانند گاف انرژی بالا و باز ترکیب شدن سریع الکترون و حفره ها، امکان فعالیت در شرایط نور مرئی و استفاده از طیف وسیع انرژی خورشید در کنار بازدهی بالا را ندارد. به همین دلیل، راهکارهای متفاوتی نظیر وارد کردن فلزات و نافلزات در ساختار شبکه  $\text{TiO}_2$ ، اصلاح اندازه ذرات و ریخت شناسی (morphology)، ایجاد هترو ساختار (Heterostructure) با سایر فوتوکاتالیست ها، اصلاح سطح (surface modification) و غیره برای بهبود عملکرد فوتوکاتالیستی  $\text{TiO}_2$  در واکنش احیای دی اکسیدکربن به کار رفته است. با این حال، به دلیل ماهیت غیر خودبه خودی بودن فوتوسنتز مصنوعی و نیاز به انرژی ورودی زیاد برای انجام واکنش، آهنگ تولید محصولات بسیار پایین است [۷]. بر مبنای شواهد موجود در تحقیقات گذشته، جذب و فعال سازی مولکول پایدار دی اکسیدکربن اولین مرحله واکنش و محدود کننده آن است. بر این اساس، تلاش های زیادی در جهت تغییر ساختار سطح  $\text{TiO}_2$  به منظور ایجاد سایت های فعال جدید که توانایی جذب و احیای دی اکسیدکربن را دارند، صورت گرفته است [۸]. اخیراً، استفاده از بیسموت به عنوان عامل موثر در بهبود احیای دی اکسیدکربن مورد توجه بسیاری از محققان قرار گرفته است. محاسبات تئوری نظریه تابع چگالی (Density functional theory) نشان داده است که وجود اکسیدبیسموت بر روی سطح  $\text{TiO}_2$  جذب و فعال سازی دی اکسیدکربن را بهبود می دهد [۹]. به سبب ویژگی های منحصر به فرد ترکیبات حاوی بیسموت مانند  $\text{Bi}_2\text{Ti}_2\text{O}_{11}$  [۱۰]،  $\text{BiOBr}$  [۱۱-۱۳]،  $\text{Bi}_2\text{O}_3\text{Br}$  [۱۴، ۱۵] و  $\text{Bi}_2\text{WO}_6$  [۱۶]، این مواد به طور گسترده ای برای بهبود بازده تبدیل دی اکسیدکربن به محصولات با ارزش مورد استفاده قرار گرفته اند. همچنین استفاده از مس نیز موجب افزایش بازده تولید هیدروکربن ها می شود. مس و اکسیدهای آن نقش موثری در افزایش عملکرد فوتوکاتالیستی  $\text{TiO}_2$  و دیگر نیمه رساناها از طریق انتقال الکترون های برانگیخته شده دارند [۱۷]. برای نمونه، اخیراً وارد کردن مس در نانوسیم های  $\text{W}_{18}\text{O}_{49}$  بازده تولید متان را در مقایسه با نانوسیم های  $\text{W}_{18}\text{O}_{49}$  تقویت نشده ۴/۲ برابر افزایش داد [۱۸]. در پژوهش دیگری آلیاژ  $\text{TiO}_2$  با نانوذرات

شود که حدود ۸۵٪ بازده ساخت کاتالیست را نشان می دهد. فرایند ساخت  $TiO_2$  خالص نیز کاملاً مشابه آنچه که شرح داده شد، بوده و تنها مرحله اضافه کردن نمک بیسموت حذف می شود.

برای تهیه نانوکامپوزیت اصلاح شده با مس (yCuBiT) که  $y$  بیان کننده درصد وزنی مس است از روش تلقیح مرطوب استفاده شد. به این منظور، مقدار ۰/۵ گرم از  $3BiT$  توسط حمام فراصوت در ۱۰۰ میلی لیتر محلول آبی مس نیترات با غلظت‌های متفاوت حل شده و به مدت ۶ ساعت هم زده می شود. سپس محلول در دمای ۸۰ درجه سانتی گراد به مدت ۱۲ ساعت خشک شده و در دمای ۴۸۰ درجه سانتی گراد به مدت ۲ ساعت کلسینه می شود. لازم به توضیح است که در این پژوهش ۳ درصد وزنی از بیسموت بهترین عملکرد احیای دی اکسیدکربن را داشته است و  $3BiT$  نام گذاری شده است. سپس، درصد‌های مختلف بین صفر تا ۲ درصد وزنی از مس بر روی  $3BiT$  تلقیح شدند.

## ۲-۲-۲ مشخصه یابی فوتوکاتالیست‌ها

ساختار و فاز بلوری نمونه‌ها با استفاده از آزمون پراش اشعه ایکس به وسیله دستگاه PANalytical XPert Pro تحت تابش پرتو ایکس  $CuK\alpha$  با ولتاژ ۴۰ کیلوولت و جریان ۴۰ میلی آمپر انجام گرفت. زاویه ۱۰ تا ۸۰ درجه در حالت پیوسته با طول گام اندازه گیری ۰/۲۶ درجه در این آزمون استفاده شد. روش طیف سنجی بازتاب پخششی توسط دستگاه طیف سنجی نوری مدل Avaspec-2048-TEC برای بررسی میزان جذب نور فوتوکاتالیست‌های اصلاح شده و اندازه گیری گاف انرژی (bandgap) آن‌ها به کار گرفته شد. در این روش بازتاب نمونه‌ها توسط رابطه کوبلکا-مانک (Kubelka-Munk) به جذب تبدیل می شوند و به وسیله نمودار تاک (Tauc) باندگپ آن‌ها محاسبه شد. به منظور بررسی ریخت شناسی (Morphology) نانوساختارها نیز از تصاویر میکروسکوپ الکترونی روبشی مدل TScan-Mira III استفاده شد. در کنار تصاویر میکروسکوپی، آزمون طیف سنجی پراش انرژی پرتو ایکس (Energy dispersive X-ray) و نقشه پراکندگی عناصر (Elemental mapping) نیز به منظور بررسی عناصر موجود در نمونه و نحوه پراکنده شدن آن‌ها انجام گرفتند. به منظور بررسی دقیق تر ساختار فوتوکاتالیست‌های تهیه شده، تصاویر میکروسکوپ الکترونی عبوری به کمک میکروسکوپ مدل ZEISS EM900 مجهز به پرتو ایکس ۸۰ کیلوولت تهیه شدند. هم دمای جذب نیتروژن نمونه‌ها نیز توسط دستگاه Belorp Mini II به دست آمد. سپس، با استفاده از معادله BET سطح ویژه فوتوکاتالیست‌ها و به کمک رابطه کلونین توزیع اندازه حفرات محاسبه شد. به منظور بررسی نرخ بازترکیبی الکترون-حفره نیز از

مس بازده تولید متان را ۱/۷ برابر افزایش داد [۱۹]. از این رو، این پژوهش با تمرکز بر استفاده از بیسموت به عنوان وارد شونده به ساختار و مس به عنوان کاتالیزور کمکی سعی دارد تا احیای دی اکسیدکربن بر روی  $TiO_2$  را بهبود دهد. در این تحقیق، بیسموت و مس با درصد‌های وزنی مختلف به  $TiO_2$  اضافه شده و عملکرد آن‌ها در احیای دی اکسیدکربن بررسی و ارزیابی می شود. در پایان نیز، با استفاده از روش‌های مشخصه یابی مختلف و نتایج به دست آمده، سازوکاری برای احیای دی اکسیدکربن ارائه می شود.

## ۲ تجزیه

### ۲-۱ مواد

کلید مواد استفاده شده در این پژوهش دارای بالاترین نوع آزمایشگاهی بوده و بدون خالص سازی بیش تر مورد استفاده قرار گرفته اند. تیتانیوم تتراایزوپروپوکسید (TTIP)، ایزوپروپانول ( $CH_3CHOHCH_3$ )، استیک اسید ( $CH_3COOH$ )، بیسموت - نیترات ( $Bi(NO_3)_3 \cdot 5H_2O$ ) و مس نیترات ( $Cu(NO_3)_2 \cdot 3H_2O$ ) از شرکت مرک آلمان تهیه شده است.

### ۲-۲ روش‌ها

#### ۲-۲-۱ ساخت فوتوکاتالیست

دی اکسید تیتانیوم خالص (T) و دی اکسید تیتانیوم تقویت شده با بیسموت (xBiT) با درصد‌های وزنی مختلف بیسموت از صفر تا ۵ درصد که با  $x$  نشان داده می شود، با استفاده از روش سل-ژل بر پایه حلال الکلی تهیه شدند. به این منظور، ۱۰ میلی لیتر تیتانیوم تتراایزوپروپوکسید به ۳۰ میلی لیتر ایزوپروپانول اضافه شد و به مدت ۳۰ دقیقه به وسیله همزن مغناطیسی هم زده شد. هم زمان در ظرف دیگری، ۶ میلی لیتر استیک اسید ۱ مولار به ۱۰ میلی لیتر ایزوپروپانول اضافه شد. پس از ۳۰ دقیقه هم زدن، مخلوط دوم شامل استیک اسید به مخلوط اول به صورت قطره قطره اضافه می شود تا فرایند آب کافت  $TiO_2$  کامل شود. در این مرحله سل سفید رنگی در ظرف اول تشکیل می شود که به مدت ۲۴ ساعت هم زده می شود تا ژل  $TiO_2$  حاصل شود. پس از این مرحله، مقدار مشخصی از نمک نیترات بیسموت در ۱۰ میلی لیتر ایزوپروپانول حل شده و به سل  $TiO_2$  اضافه می شود و به مدت ۱۲ ساعت به وسیله همزن مغناطیسی هم زده می شود. در نهایت، ژل سفید رنگ به مدت ۱۲ ساعت در دمای ۸۰ درجه سانتی گراد خشک شده و به مدت ۵ ساعت در دمای ۴۸۰ درجه سانتی گراد تکلیس می شود. به ازای ۱۰ میلی لیتر تیتانیوم تترا ایزوپروپوکسید ۲/۶ گرم  $TiO_2$  از طریق محاسبات استوکیومتری به دست می آید. اما پس از فرایند تکلیس حدود ۲/۲ گرم  $TiO_2$  حاصل می

شناساگر ۲۵۰ درجه به عنوان پارامترهای ورودی دستگاه سوانگاری گازی استفاده شدند. بازده تولید محصولات به وسیله رابطه (۱) به صورت زیر به دست می آید:

$$\text{Rate} \left( \frac{\mu\text{mol}}{\text{g}} \right) = \frac{(C_t - C_0) \cdot V}{m_c} \quad (1)$$

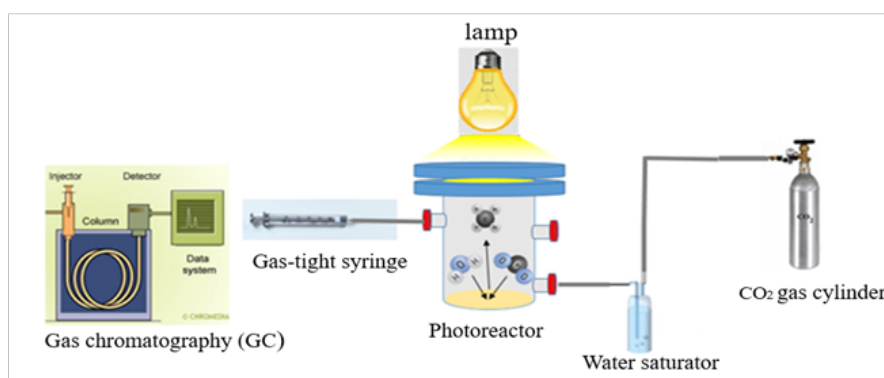
که  $C_0$  و  $C_t$  به ترتیب غلظت متان در لحظه شروع و پایان واکنش،  $V$  حجم فوتوراکتور و  $m_c$  جرم کاتالیست است.

برای اطمینان از تولید واقعی محصولات طی واکنش فوتوکاتالیستی، در شرایط عدم نور و عدم حضور فوتوکاتالیست، واکنشها تکرار شدند.

طیف سنجی فوتولومینسانس به وسیله دستگاه Agilent g9800a استفاده شد.

### ۳-۲-۲ روش انجام واکنش احیای فوتوکاتالیستی دی اکسیدکربن

واکنش احیای دی اکسید کربن در راکتور ناپیوسته فاز گاز در دما و فشار محیط انجام گرفت که طرح واره سامانه طراحی شده در شکل (۱) ترسیم شده است. فوتوراکتور طراحی شده متشکل از استوانه شیشه‌ای به ارتفاع ۱۰ سانتی متر و قطر ۶ سانتی متر است که پنجره‌ای با جنس کوارتز در بالای آن تعبیه شده که برای گذراندن نور فرابنفش مناسب است. منبع نور در این واکنش، لامپ بخار جیوه با توان ۲۵۰ وات



شکل ۱ طرح واره فوتوراکتور احیای دی اکسیدکربن  
Figure 1. Schematic of CO<sub>2</sub> reduction photoreactor.

### ۳ نتایج و بحث

#### ۳-۱ مشخصه یابی فوتوکاتالیست‌ها

پس از ساخت TiO<sub>2</sub> و نانوکامپوزیت‌های CuBiT، به منظور بررسی ساختار فوتوکاتالیست و اطمینان از تشکیل ساختار بلوری مورد نظر، آزمون پراش اشعه ایکس انجام گرفت که الگوی پراش نمونه‌ها در شکل (۲) آمده است. قله‌های به دست آمده در نمونه T با استاندارد های JCPDS 21-1272 و JCPDS 21-1276 به خوبی تطابق دارد که به ترتیب بیان کننده فاز آناتاز و روتایل در نمونه‌ها است که بر روی قله‌های موجود در شکل (۲) علامت گذاری شده است.

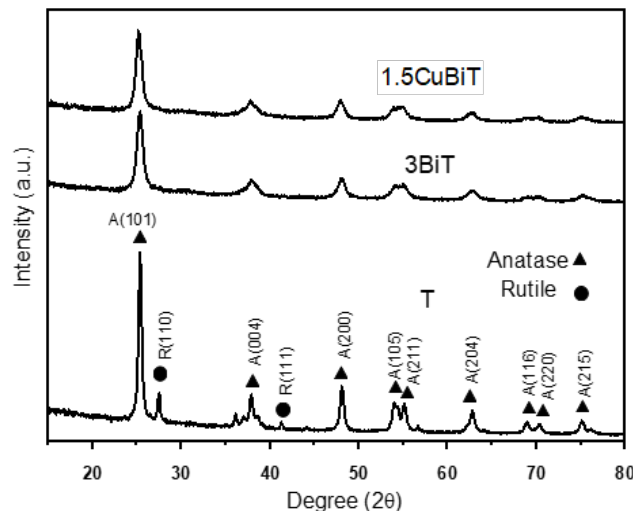
بر مبنای شدت قله‌ها فاز غالب نانو کاتالیست فاز آناتاز است و فاز روتایل درصد کم تری را به خود اختصاص داده است. با استفاده از رابطه (۲) می توان به صورت کمی نسبت وزنی دو فاز را محاسبه کرد [۲۰].

$$Wt_A = \frac{1}{1 + 1.26 \frac{I_R}{I_A}} \quad (2)$$

در رابطه (۲)،  $Wt_A$  کسر وزنی فاز آناتاز،  $I_R$  ارتفاع پیک صفحه (۱۱۰) فاز روتایل و  $I_A$  ارتفاع پیک صفحه (۱۰۱) فاز آناتاز است. با محاسبه نسبت ارتفاع پیک ها

است که در فاصله ۵ سانتی متری در بالای راکتور قرار می گیرد.

پیش از شروع واکنش، ۰/۲ گرم از پودر کاتالیست در ۱۵ میلی لیتر آب مقطر به وسیله دستگاه فراصوت پراکنده شد و در دمای ۸۰ درجه سانتی گراد خشک شد تا فیلم نازک یکنواختی در کف راکتور تشکیل شود. سپس جریان گاز دی اکسیدکربن با خلوص ۹۹/۹۵٪ پس از عبور از درون اشباع کننده آب، وارد راکتور شد. با تنظیم دمای اشباع کننده آب می توان میزان رطوبت موجود در راکتور را تنظیم کرد که در تمام آزمایش‌ها ۴۰ درجه بوده است تا میزان رطوبت درون راکتور ۳۰ درصد باشد. پس از ۲۰ دقیقه عبور گاز دی اکسیدکربن و اطمینان از خروج هوای درون راکتور، لامپ روشن شده و واکنش آغاز گشت. سپس، با گذشت ۱۰ ساعت از شروع واکنش، ۲ میلی لیتر از گاز درون راکتور توسط سرنگ درزبندی شده از محل تعبیه شده برای نمونه-گیری گرفته شد و غلظت محصولات توسط دستگاه سوانگاری گازی مدل Agilent 7890A مجهز به شناساگر یونیزاسیون شعله (FID) اندازه گیری شد. در تمام آزمایش‌ها از هلیوم به عنوان گاز حامل با دبی جریان ۱ میلی لیتر بر دقیقه، دمای ستون ۳۰ درجه و دمای



شکل ۲ طیف پراش پرتو ایکس فوتوکاتالیست‌های T، 3BiT و 1.5CuBiT.  
Figure 2. X-ray diffraction pattern of photocatalysts T, 3BiT and 1.5CuBiT.

به سبب مقدار کم عنصر مس، دستگاه پراش اشعه ایکس امکان تشخیص قله‌های مربوط به آن را نداشته است. برای تخمین اندازه دانه‌های بلوری کاتالیزور از معادله شرر استفاده شد که در رابطه (۳) به صورت زیر آمده است:

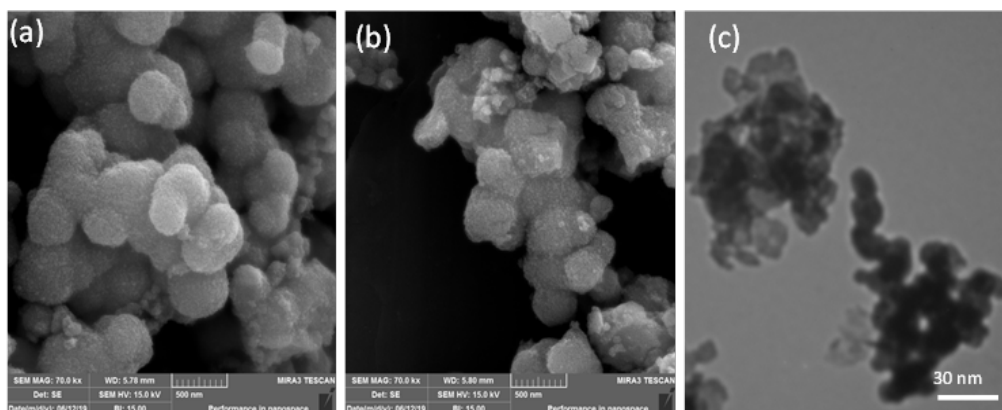
$$D = \frac{0.89\lambda}{\beta \cos(\theta)} \quad (3)$$

که D اندازه بلور،  $\beta$  عرض قله در نصف شدت بیشینه،  $\theta$  زاویه براگ مربوط به پیک و  $\lambda$  طول موج پرتوی ایکس است. با توجه به معادله شرر می‌توان دریافت که هر چه  $\beta$  بزرگ‌تر باشد، اندازه ذرات ماده کوچک‌تر است، درواقع قله نانوذرات در مقایسه با مواد معمولی پهنای بیش تری دارد. با استفاده از معادله شرر و پهنای قله صفحات (۱۰۱) اندازه بلورهای آناتاز T، 3BiT و 1.5CuBiT، به ترتیب ۲۴/۶، ۱۴/۷۵ و ۱۲/۸ نانومتر تخمین زده شدند. اندازه بلور، یکی از پارامترهای مهم و اثرگذار بر خواص فوتوکاتالیستی است. هنگامی که بلورها کوچک می‌شوند باز ترکیب شدن الکترون و حفره‌ها که یکی از مهم‌ترین موانع عملکرد فوتوکاتالیست‌ها است، کاهش می‌یابد [۲۵].

به منظور بررسی عمیق‌تر ریخت‌شناسی کاتالیست‌های تهیه شده به روش سل ژل، از نمونه‌ها، تصاویر میکروسکوپ الکترونی روبشی نشر میدانی و تصاویر میکروسکوپ الکترونی عبوری گرفته شد که در شکل ۳ آورده شده است.

در تصاویر شکل (۳) قسمت (a) و (b) به وضوح ریخت‌کروی نانوذرات دیده می‌شود که در واقع از کنار هم قرار گرفتن تعداد زیادی از نانوذرات T کلوخه‌های درشت‌تر تقریباً کروی شکل در ابعاد بین ۳۰۰ تا ۵۰۰ نانومتر شکل گرفته‌اند که اندازه‌گیری آن‌ها توسط

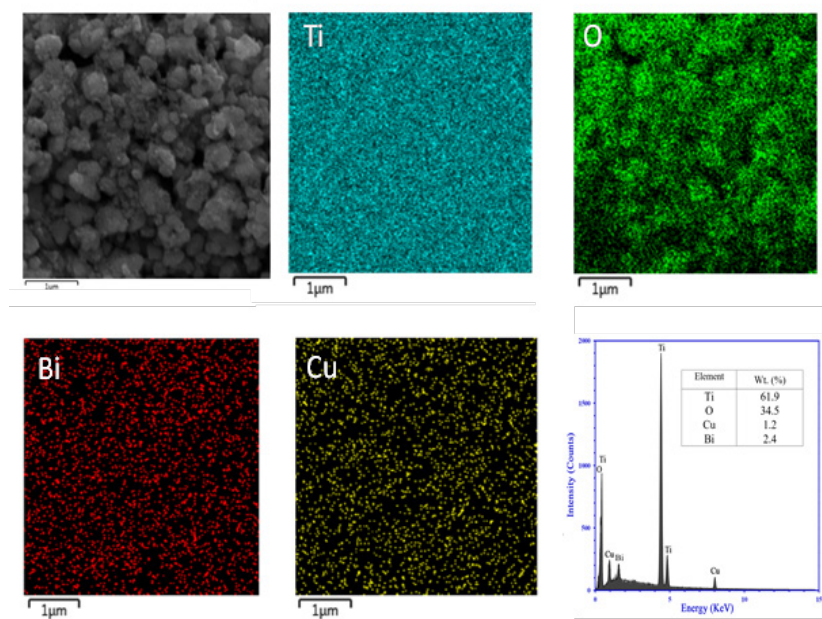
مشخص شد که کاتالیزور T از ۸۳٪ فاز آناتاز و ۱۷٪ فاز روتایل تشکیل شده است. وجود این دو فاز در کنار یکدیگر سبب انتقال حاملان بار شده و از باز ترکیب شدن الکترون و حفره جلوگیری می‌کند [۲۱]. در واقع، انتخاب دمای ۵۰۰ درجه سانتی‌گراد برای تکلیس که از مرجع [۲۲] به عنوان دمای بهینه تکلیس اقتباس شده است، سبب شده تا بخشی از فاز آناتاز به روتایل تبدیل شود. عموماً در  $\text{TiO}_2$  خالص هنگامی که دمای تکلیس حدود ۵۰۰ درجه سانتی‌گراد یا بالاتر باشد بخشی از فاز آناتاز به فاز روتایل تبدیل می‌شود و نیز در دمای ۶۰۰ درجه سانتی‌گراد تمام فاز آناتاز به فاز روتایل تبدیل خواهد شد [۲۳]. با مقایسه نمونه T با نمونه 3BiT مشاهده می‌شود که با آنکه دمای کلسیناسیون در نمونه‌های تقویت شده با بیسموت نیز همان ۵۰۰ درجه سانتی‌گراد بوده است اما قله‌های فاز روتایل در نمونه 3BiT حذف شده‌اند. بنابراین می‌توان نتیجه گرفت که افزودن بیسموت مانع از تبدیل شدن فاز آناتاز به روتایل شده است. درحقیقت اتم‌های بیسموت مانع از نفوذ و جابه‌جایی اتم‌های اکسیژن و تیتانیوم در دمای بالا شده‌اند که بازتاب آن در تک فاز شدن 3BiT نمایان شده است [۲۴]. به علاوه، قله جدیدی مربوط به عنصر بیسموت در نمونه 3BiT مشاهده نشد که احتمالاً به دلیل درصد پایین بیسموت و پخش شدن یکنواخت آن است. همچنین 3BiT نسبت به T قله‌هایی پهن‌تر با ارتفاع کم‌تر دارد که بنابر رابطه شرر بیان‌کننده ریز شدن بلورها و کاهش بلورینگی 3BiT است. به طور مشابه با نمونه 3BiT، در نمونه 1.5CuBiT نیز با وجود این که مس بر روی سطح نشانده می‌شود قله جدیدی ظاهر نشده است که نشان می‌دهد یا به دلیل مقدار پایین مس، فاز بلوری مجزایی تشکیل نشده است یا اینکه



شکل ۳ تصاویر میکروسکوپ الکترونی روبشی (b) T ، (a) 1.5CuBiT و (c) تصویر میکروسکوپ الکترونی عبوری 1.5CuBiT  
Figure 3. The scanning electron microscope images of (a) T, (b) 1.5CuBiT and (c) transmission electron image of 1.5CuBiT.

آن ها توسط آزمون طیف سنجی پراش انرژی پرتو ایکس در شکل (۴) آمده است. همان طور که در شکل (۴) مشخص است عناصر بیسموت و مس به طور کاملاً یکنواخت پخش شده اند که بیان کننده دمای مناسب تکلیس و روش مناسب تهیه کاتالیزور است. همچنین درصد وزنی مس و بیسموت حاصل از آزمون پراش انرژی پرتو ایکس به ترتیب ۱/۲ و ۲/۴ بودند که به مقدار نظری وارد شده در هنگام تهیه کاتالیزور نزدیک است. هرچند که این آزمون به صورت نقطه ای مقدار عناصر را اندازه گیری می کند و ممکن است درصد بیسموت و مس در کل ماده به صورت کاملاً یکنواخت نباشد. با این حال، یافته های بیان شده در بالا به خوبی صحت کاتالیزور های ساخته شده را تأیید می کند.  
شکل (۵) قسمت (a) هم دمای جذب نیتروژن

نرم افزار ImageJ و از روی تصاویر میکروسکوپ الکترونی روبشی صورت گرفته است. به وضوح دیده می شود که نمونه های T و 1.5CuBiT ریخت مشابهی دارند که نشان می دهد وارد کردن بیسموت اثر قابل ملاحظه ای بر ریخت کاتالیزور نداشته است. شکل (۳) قسمت (c) نیز تصویر میکروسکوپ الکترونی عبوری نمونه 1.5CuBiT را نشان می دهد. در این تصویر، نانوذرات کروی شکل با اندازه هایی کمتر از ۲۰ نانومتر قابل مشاهده هستند. ذکر این نکته الزامی است که آنچه در تصاویر میکروسکوپ الکترونی روبشی دیده می شود در واقع کلوخه هایی متشکل از صدها نانوذره کاتالیزور است؛ در حالی که در تصاویر میکروسکوپ الکترونی عبوری نانوذرات کاتالیزور با درجه پایین تری از کلوخگی قابل مشاهده هستند که می توان اندازه واقعی نانوذرات را مشاهده کرد.  
مقدار عناصر نشانده شده در ساختار 1.5CuBiT و توزیع



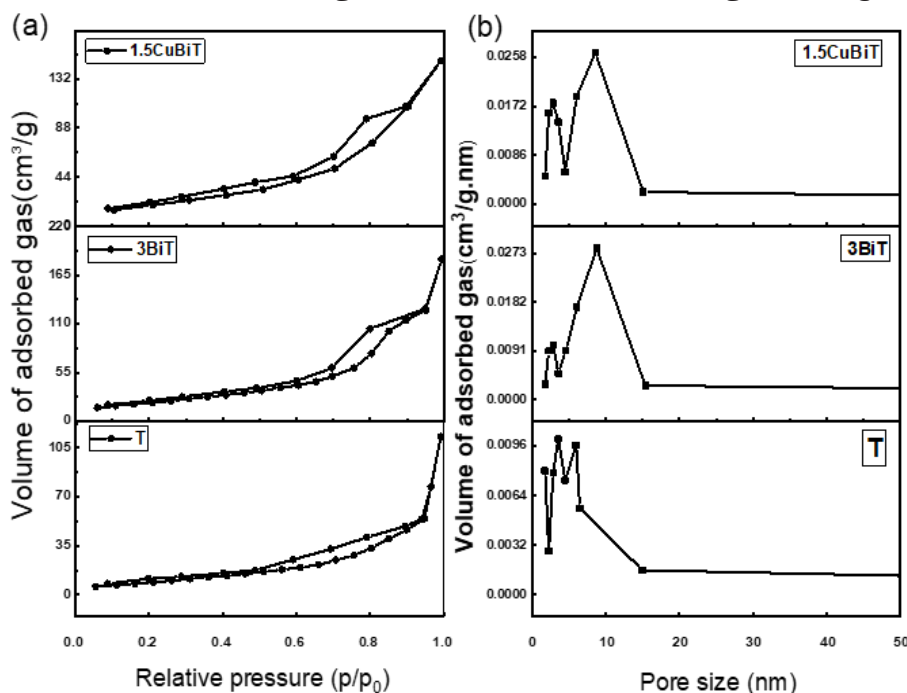
شکل ۴ آزمون طیف سنجی انرژی پرتو ایکس و نقشه پراکندهی عناصر برای 1.5CuBiT  
Figure 4. Energy dispersive x-ray and elemental mapping analysis for 1.5CuBiT.

می سازد. به همین دلیل، بررسی میزان جذب نور کاتالیزورهای ساخته شده از اهمیت بالایی برخوردار است. از این رو در این پژوهش، کاتالیزورها تحت آزمون طیف-سنجی بازتاب پخشی قرار گرفتند. در این آزمون که مختص ارزیابی خواص نوری مواد پودری است به جای اندازه گیری مستقیم جذب نور، بازتاب نور در هر طول موج اندازه گیری می شود. سپس داده های بازتاب نور به دست آمده از دستگاه طیف سنجی نوری توسط معادله کوبلکا-مانک طبق رابطه (۴) به جذب نور تبدیل می شوند:

$$F(R) = \frac{(1 - R)^2}{2R} \quad (4)$$

که R بازتاب نور در هر طول موج و F جذب نور در هر طول موج است. برای محاسبه گاف انرژی نیز از رسم تغییرات  $(F(R).hv)^{1/2}$  بر حسب  $h\nu$  نموداری حاصل می شود (نمودار تاک) که محل برخورد خط مماس در ناحیه خطی نمودار با محور طول مقدار گاف انرژی را نشان می دهد.

فوتوکاتالیستها را نشان می دهد. براساس استاندارد IUPAC تمام هم دماها از نوع IV است که مربوط به مواد متخلخل است و نوع حلقه پسماند (hysteresis loop) نیز معرف حفرات صفحه ای شکل است. همچنین، توزیع اندازه حفرات در شکل (۵) قسمت (b) بیانگر وجود مزوحفرات است. وجود مزوحفرات با اندازه بین ۲ تا ۵۰ نانومتر بستر مناسبی را برای انتقال واکنش دهنده ها و محصولات فراهم می کند که به کاهش مقاومت انتقال جرم و افزایش بازده واکنش کمک می کند. به علاوه، با افزایش سطح ویژه کاتالیزور تعداد موقعیت های قابل دسترس برای انجام واکنش نیز بیش تر می شود. بر مبنای هم دمای BET، سطح ویژه کاتالیزورها برای T، ۳BiT و ۱،۵CuBiT به ترتیب ۳۷/۸، ۸۰/۴، ۷۵/۲ مترمربع بر گرم است که نشان می دهد سطح ویژه فوتوکاتالیستها به ترتیب  $1.5CuBiT < 3BiT < T$  افزایش یافته است. بنابراین، اثر کوچک شدن اندازه ذرات ۳BiT به شکل قابل ملاحظه ای در افزایش سطح ویژه فوتوکاتالیست نمایان شده است. با این حال، پس از افزودن مس، سطح ویژه اندکی کاهش یافته است که



شکل ۵- (a) هم دمای جذب نیتروژن فوتوکاتالیستهای T، ۳BiT و ۱،۵CuBiT در دمای ۷۷ کلونین (b) توزیع اندازه حفرات در فوتوکاتالیستهای T، ۳BiT و ۱،۵CuBiT

Figure 5. (a) Nitrogen adsorption isotherm of photocatalysts T, 3BiT and 1.5CuBiT at 77 K (b) pore size distribution of photocatalysts T, 3BiT and 1.5CuBiT.

شکل (۶) قسمت (a) نمودار جذب نور بر حسب طول موج را برای T، ۳BiT و ۱،۵CuBiT بیان می کند. همان طور که انتظار می رود T تنها در بازه طول موج های کم تر از ۴۰۰ نانومتر توانایی جذب فوتون های نور را دارد و در طول موج های کم تر از ۴۰۰ نانومتر جذب نور با شیب تندی کاهش می یابد. در مورد ۳BiT و

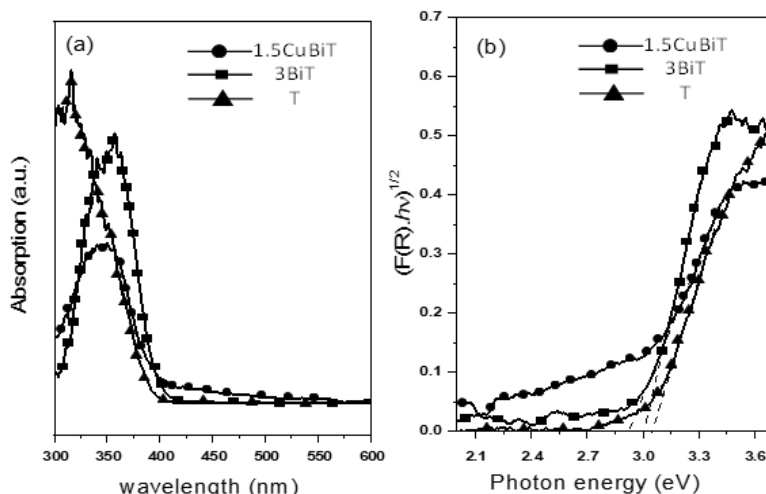
احتمال دارد به دلیل قرار گرفتن ذرات مس در درون حفرات و مسدود کردن آنها باشد [۲۶].

یکی از مهم ترین پارامترهای واکنش های فوتوکاتالیستی، جذب نور است. جذب نور اولین مرحله واکنش های فوتوکاتالیستی است که ماهیت آن را از سایر واکنش ها که گرما نیرو محرکه اصلی آنها است، متمایز



گسیل فوتولومینسانس، آزمون مناسبی برای بررسی سرنوشت الکترون و حفره‌های تولید شده است. طیف فوتولومینسانس به طور مستقیم از باز ترکیب شدن الکترون‌ها و حفره‌ها ایجاد می‌شود و به همین دلیل یکی از بهترین روش‌های بررسی نرخ باز ترکیبی الکترون و حفره است. شکل (۷) طیف فوتولومینسانس

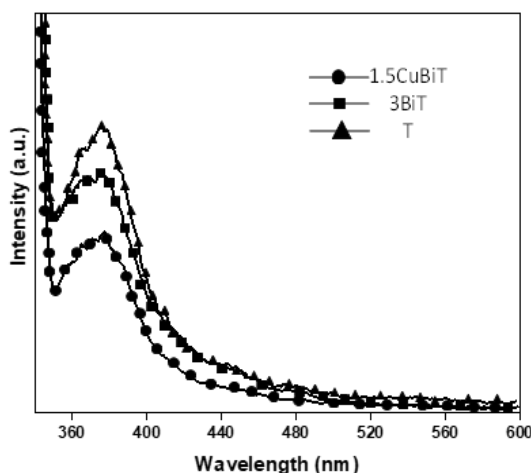
۱,۵CuBiT، جذب نور اندکی به سمت طول موج‌های بزرگ‌تر کشیده شده است اما همچنان جذب نور در طول موج کم‌تر از ۴۰۰ نانومتر وجود دارد. با ترسیم خط مماس بر بخش خطی نمودار Tauc (شکل (۶) قسمت (b)) گاف انرژی T، ۳BiT و ۱,۵CuBiT به ترتیب برابر ۳/۰۷، ۲/۹۷ و ۲/۸۹ الکترون ولت به دست آمد.



شکل ۶ (a) طیف جذب نور T، ۳BiT و ۱,۵CuBiT (b) نمودار Tauc نمونه‌های T، ۳BiT و ۱,۵CuBiT جهت تعیین گاف انرژی فوتوکاتالیست‌ها  
Figure 6. (a) Light absorption spectrum of T, 3BiT and 1.5CuBiT (b) Tauc plot of samples T, 3BiT and 1.5CuBiT for measuring the bandgaps of photocatalysts.

فوتوکاتالیست‌ها را نشان می‌دهد. قله پهن هر سه نمونه T، ۳BiT و ۱,۵CuBiT در حوالی ۴۰۰ نانومتر از باز ترکیب الکترون‌های برانگیخته شده تراز رسانش با حفره‌های تراز ظرفیت ناشی می‌شود. همان‌طور که در شکل (۷) دیده می‌شود، دنباله این قله‌ها به طول موج‌های ناحیه مرئی نیز کشیده شده‌اند که نشان دهنده وجود نقص‌هایی در بین تراز ظرفیت و رسانش  $TiO_2$  است. قابل توجه است که ارتفاع قله‌های فوتولومینسانس به صورت  $T < 1.5CuBiT < 3BiT$  کاهش یافته است. این روند نشان می‌دهد که با

کاهش گاف انرژی  $TiO_2$  اصلاح شده را می‌توان به ایجاد ترازهای جدید انرژی که به اعداد اکسایش مختلف بیسموت و مس مرتبط است، نسبت داد [۲۷]. با وجود اینکه در واکنش‌های فوتوکاتالیستی جذب نور نقش بسیار مهمی ایفا می‌کند با این حال این مشخصه به تنهایی نمی‌تواند برای احیای دی اکسیدکربن کافی باشد چرا که جذب نور در صورتی به انجام واکنش منجر خواهد شد که الکترون و حفره‌ها از هم جدا شده، به سطح رسیده و در واکنش‌های احیا و اکسایش شرکت کنند. در این راستا، طیف



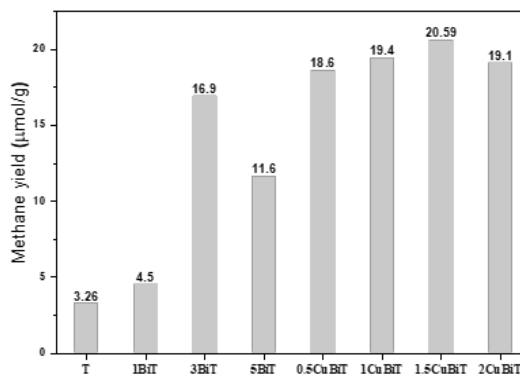
شکل ۷ طیف فوتولومینسانس T، ۳BiT و ۱,۵CuBiT  
Figure 7. Photoluminescence spectrum of T, 3BiT and 1.5CuBiT.

درصد در ساختار  $\text{TiO}_2$  وارد می شود (۱BiT) مقدار تولید متان افزایش می یابد اما این مقدار، اندکی بیش تر از  $\text{TiO}_2$  خالص (T) است. در حالی که وقتی درصد وزنی بیسموت تا ۳ درصد افزایش می یابد تولید متان به شکل قابلملاحظه ای افزایش یافته و به  $16/9$  میکرومول بر گرم می رسد. این افزایش احتمالاً به بهبود جذب دی اکسیدکربن که مرحله تعیین کننده سرعت واکنش است مرتبط است. اکسید بیسموت ( $\text{Bi}_2\text{O}_3$ ) به تنهایی یا ترکیب آن با  $\text{TiO}_2$  که به تشکیل فاز ( $\text{Bi}_2\text{Ti}_2\text{O}_7$ ) می انجامد منجر به افزایش بازده تولید متان شده است [۹،۳۰]. هرچند که وجود فاز های ( $\text{Bi}_2\text{Ti}_2\text{O}_7$ ) و ( $\text{Bi}_2\text{O}_3$ ) در طیف پراش پرتو ایکس نمونه های تهیه شده در این پژوهش دیده نشدند اما این موضوع نمی تواند عدم وجود این فازها را اثبات کند؛ چراکه ممکن است به دلیل درصد پایین عنصر بیسموت این فازها به صورت بسیار کوچک در ساختار پراکنده شده باشند؛ به گونه ای که پایین تر از حد تشخیص دستگاه پراش پرتو ایکس بوده است. با این حال، اگر چه وارد کردن بیسموت به افزایش تولید متان کمک کرده است اما با وارد کردن مقدار بیش تری بیسموت (۵ درصد وزنی در شکل ۸)، تولید متان نسبت به حالتی که ۳ درصد وزنی، افت کرده است. به بیان دیگر، وارد کردن

وارد کردن بیسموت و تلقیح کردن مس، نرخ بازترکیبی الکترون و حفره کاهش یافته است. به این ترتیب می توان برداشت کرد که بیسموت و مس مراکزی برای به دام انداختن الکترون و حفره هستند که از بازترکیب شدن الکترون ها و حفره ها که موجب هدر رفتن انرژی فوتون های نور می شود جلوگیری کرده اند و همان طور که در شکل (۷) دیده می شود مس نقش پررنگ تری در کاهش بازترکیبی الکترون-حفره دارد. به طور کلی نتایج آزمایش های مشخصه یابی مذکور نشان دهنده بهتر شدن خواص فیزیکی-شیمیایی  $\text{TiO}_2$  به دنبال وارد کردن بیسموت و تلقیح کردن مس به منظور احیای دی اکسیدکربن است.

## ۲-۳ نتایج احیای دی اکسید کربن

در ابتدا لازم به توضیح است که در پژوهش حاضر متان، تنها محصول عمده واکنش بوده و دیگر هیدروکربن ها در صورت تولید نیز به اندازه ای مقدار تولیدشان ناچیز بوده است که قابل اندازه گیری نبوده اند. به همین دلیل، بازده تولید متان به عنوان معیار عملکرد فوتوکاتالیست ها انتخاب شده است. در پژوهش های گذشته نیز متان به عنوان محصول اصلی واکنش احیای دی-اکسیدکربن بر روی  $\text{TiO}_2$  گزارش شده است



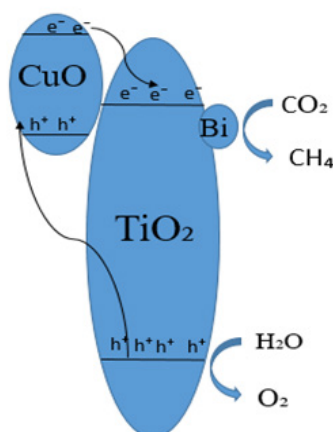
شکل ۸ بازده تولید متان پس از ۱۰ ساعت واکنش

Figure 8. Yield of methane production after 10 h of reaction.

بیسموت به ساختار  $\text{TiO}_2$  مقداری بهینه داشته که در اینجا ۳ درصد وزنی بوده است. بیسموت در درصدهای بالا به مراکزی برای بازترکیبی الکترون و حفره مبدل می شود که بازده احیای دی اکسیدکربن را کاهش می دهد.

پس از تلقیح کردن مس در ۳BiT، تولید متان افزایش یافته است. با افزودن مس در  $1/5$ ،  $1$ ،  $1/5$  و  $2$  درصد وزنی مقدار تولید متان به ترتیب  $18/6$ ،  $19/4$ ،  $20/59$  و  $19/1$  میکرومول بر گرم شده است که بالاتر از نمونه های اصلاح شده با بیسموت هستند. این نتایج نشان می دهد که مس نیز نقش فزاینده ای در احیای دی اکسیدکربن داشته است. یون های مس می توانند

[۲۸،۲۹]. همچنین، با استفاده از آزمایش های کنترلی در شرایط عدم وجود نور، کاتالیزور و دی اکسیدکربن مشخص شد که وجود هر سه عامل برای احیای دی اکسیدکربن الزامی بوده و متان تولید شده در واکنش از دی اکسیدکربن وارد شده به راکتور حاصل شده است. شکل (۸) مقدار تولید متان پس از ۱۰ ساعت واکنش احیای دی اکسیدکربن را نشان می دهد. میزان تولید متان در حضور ۳BiT برابر است با  $6/129$  میکرومول بر گرم که نسبت به میزان تولید متان در حضور  $\text{TiO}_2$  خالص و نیز بهبود یافته با  $1$  و  $5$  درصد وزنی از بیسموت بیش تر است. براساس شکل (۸)، هنگامی که بیسموت به میزان  $1$



شکل ۹ سازوکار پیشنهادی احیای دی اکسیدکربن توسط کامپوزیت  $1.5\text{CuBiT}$   
 Figure. 9 Proposed mechanism of carbon dioxide reduction using  $1.5\text{CuBiT}$  composite.

#### ۴ نتیجه گیری

به طور خلاصه،  $\text{TiO}_2$  تقویت شده با بیسموت در درصدهای وزنی بین صفر تا پنج به روش سل ژل تهیه شده و برای احیای فوتوکاتالیستی دی اکسیدکربن ارزیابی شدند. نتایج نشان دادند که ۳ درصد وزنی از بیسموت ( $3\text{BiT}$ ) بیشترین تولید متان را در طول ۱۰ ساعت داشته است. سپس  $3\text{BiT}$  با مقادیر مختلف از مس بهبود داده شد. با استفاده از آزمایش‌های راکتوری در نهایت مشخص شد که ۱/۵ درصد وزنی از مس بهترین عملکرد فوتوکاتالیستی را در احیای دی اکسیدکربن دارد. در این پژوهش  $1.5\text{CuBiT}$  که  $\text{TiO}_2$  اصلاح شده توسط ۳ درصد وزنی از بیسموت و ۱/۵ درصد از مس است، توانست به بازده تولید متان  $20/59$  میکرومول بر گرم دست یابد که نسبت به  $\text{TiO}_2$  خالص  $6/3$  برابر افزایش داشته است. به نظر می‌رسد نقش موثر بیسموت در جذب و فعال‌سازی مولکول‌های پایدار دی اکسیدکربن در کنار جدا سازی موثر الکترون و حفره‌ها توسط اکسیدمس دلیل افزایش چشمگیر تولید متان باشد. بیسموت علاوه بر جذب دی اکسیدکربن با جلوگیری از نفوذ اتم‌های اکسیژن و تیتانیوم مانع از رشد بلورها شده و به این ترتیب سطح ویژه را افزایش داده است که به افزایش موقعیت‌های فعال منجر می‌شود. همچنین کاهش طیف فوتولومینسانس پس از افزودن بیسموت و مس بیانگر بهبود جداسازی حاملان بار بوده که الکترون‌ها و حفره‌های بیش تری را در اختیار دی اکسید کربن و آب قرار می‌دهد. مجموع این عوامل موجب شدند که بازده احیای دی اکسیدکربن در  $1.5\text{CuBiT}$  بسیار بیشتر از  $\text{TiO}_2$  خالص شود.

به صورت واردشونده به درون ساختار، عمل کرده و با به دام انداختن حاملان بار به کاهش نرخ بازترکیبی الکترون-حفره کمک کنند. همچنین مس توانایی بالایی در جذب دی اکسیدکربن دارد. اکسیدمس نیز می‌تواند با ایجاد هتروساختار نوع p-n به جداسدن الکترون‌ها کمک کرده و بازده احیای دی اکسیدکربن را افزایش دهد. این نوع هتروساختار در فصل مشترک بین دو نیمه رسانا یکی از نوع n (در اینجا  $\text{TiO}_2$ ) و دیگری از نوع p ( $\text{CuO}$ ) تشکیل می‌شود که به انتقال الکترون‌ها از اکسیدمس به  $\text{TiO}_2$  و انتقال حفره‌ها از  $\text{TiO}_2$  به اکسیدمس منجر می‌شود. به این ترتیب جدایش بار حاصل شده به بهبود احیای دی-اکسیدکربن کمک می‌کند. در این حالت اکسیدمس به صورت فوتوکاتالیست کمکی عمل کرده است [۳۱]. طرح واره سازوکار احیای دی اکسیدکربن بر روی فوتوکاتالیست استفاده شده در این پژوهش در شکل (۹) ترسیم شده است. به طور کلی برای احیای فوتوکاتالیستی دی اکسیدکربن، فوتوکاتالیست می‌بایست علاوه بر خواص فوتوکاتالیستی، خواص کاتالیزوری مناسبی نیز برای فعال سازی و احیای دی اکسیدکربن داشته باشد [۳۲]. در همین راستا، در این مطالعه بیسموت و مس در  $\text{TiO}_2$  وارد شده تا به آن ویژگی‌های یک کاتالیزور مناسب برای احیای دی اکسیدکربن را بدهد. بنابر نتایج به دست آمده، وارد کردن بیسموت و تلقیح کردن مس توانسته است با بهبود بخشیدن  $\text{TiO}_2$ ، بازده تولید متان را از  $3/26$  به  $20/59$  میکرومول بر گرم افزایش دهد که دستاورد ارزشمندی در تبدیل دی اکسیدکربن به مواد با ارزش افزوده محسوب می‌شود. با این وجود، هنوز بازده احیای فوتوکاتالیستی دی اکسیدکربن بر روی کاتالیزورهای شناخته شده بسیار پایین است و همچنان نیاز به توسعه فوتوکاتالیست‌هایی نوین تر با بازدهی بالاتر برای تولید سوخت تجدیدپذیر وجود دارد.

## مراجع

- [1] Cook, T. R., Dogutan, D. K., Reece, S. Y., Surendranath, Y., Teets, T. S., & Nocera, D. G, Solar Energy Supply and Storage for The Legacy and Nonlegacy Worlds, *Chemical Reviews*, 2010) ,6502-6474 :(11)110).
- [2] Centi, G., & Perathoner, S, Towards Solar Fuels from Water and CO<sub>2</sub>. *ChemSusChe: Chemistry & Sustainability Energy & Materials*: 2010) ,208-195 :(2)3).
- [3] Habisreutinger, S. N., Schmidt-Mende, L., & Stolarczyk, J. K, Photocatalytic Reduction of CO<sub>2</sub> on TiO<sub>2</sub> and Other Semiconductors, *Angewandte Chemie International Edition*, 2013) 7408-7372 :(29)52).
- [4] Centi, G., & Perathoner, S, Opportunities and Prospects in the Chemical Recycling of Carbon dioxide to Fuels, *Catalysis Today*, 2009) 205-191 :(4-3)148).
- [5] Torres, J.A., Nogueira, A.E., da Silva, G.T., Lopes, O.F., Wang, Y., He, T. & Ribeiro, C. Enhancing TiO<sub>2</sub> Activity for CO<sub>2</sub> Photoreduction through MgO Decoration. *Journal of CO<sub>2</sub> Utilization*, 35, pp.,114-106 (2020)).
- [6] Zhao, Q., Li, H., Zhang, L. & Cao, Y., Study of PdO Species on Surface of TiO<sub>2</sub> for Photoreduction of CO<sub>2</sub> into CH<sub>4</sub>. *Journal of Photochemistry and Photobiology A: Chemistry*, 384, p.2019 ,112032.
- [7] Low, J., Cheng, B., & Yu, J, Surface Modification and Enhanced Photocatalytic CO<sub>2</sub> Reduction Performance of TiO<sub>2</sub>: A Review, *Applied Surface Science*, 2017) 686-658 :392).
- [8] Lingampalli, S. R., Ayyub, M. M., & Rao, C. N. R, Recent Progress in the Photocatalytic Reduction of Carbon dioxide, *ACS omega*, :(6)2 2017) 2748-2740).
- [9] Nolan, M, Adsorption of CO<sub>2</sub> on Heterostructures of Bi<sub>2</sub>O<sub>3</sub> Nanocluster-Modified TiO<sub>2</sub> and the Role of Reduction in Promoting CO<sub>2</sub> Activation, *ACS Omega*, :(10)3 2018) 13128-13117).
- [10] Liu, Lizhen, Hongwei, H., Fang, C., Hongjian, Y., Na, T., Yihe, Z., & Tierui, Z., Cooperation of Oxygen Vacancies and 2D Ultrathin Structure Promoting CO<sub>2</sub> Photoreduction Performance of Bi<sub>4</sub>Ti<sub>3</sub>O<sub>12</sub>. *Science Bulletin* (2020).
- [11] Kong, X.Y., Ng, B.J., Tan, K.H., Chen, X., Wang, H., Mohamed, A.R. and Chai, S.P., Simultaneous Generation of Oxygen Vacancies on Ultrathin BiOBr Nanosheets During Visible-Light-Driven CO<sub>2</sub> Photoreduction Evoked Superior Activity and Long-term Stability. *Catalysis Today*, 314, pp.2018) 27-20).
- [12] Ye, L., Deng, Y., Wang, L., Xie, H. & Su, F., Bismuth-Based Photocatalysts for Solar Photocatalytic Carbon Dioxide Conversion. *ChemSusChem*, 16)12), pp.2019) 3701-3671).
- [13] Wu, J., Li, X., Shi, W., Ling, P., Sun, Y., Jiao, X., Gao, S., Liang, L., Xu, J., Yan, W. & Wang, C., Efficient Visible-Light-Driven CO<sub>2</sub> Reduction Mediated by Defect-Engineered BiOBr Atomic Layers. *Angewandte Chemie*, 28)130), pp.2018) 8859-8855).
- [14] Bai, Y., Yang, P., Wang, L., Yang, B., Xie, H., Zhou, Y. & Ye, L., Ultrathin Bi<sub>4</sub>O<sub>5</sub>Br<sub>2</sub> Nanosheets for Selective Photocatalytic CO<sub>2</sub> Conversion into CO. *Chemical Engineering Journal*, 360, pp.2019) 482-473).
- [15] Jin, X., Lv, C., Zhou, X., Xie, H., Sun, S., Liu, Y., Meng, Q. & Chen, G., A Bismuth Rich Hollow Bi<sub>4</sub>O<sub>5</sub>Br<sub>2</sub> Photocatalyst Enables Dramatic CO<sub>2</sub> Reduction Activity. *Nano Energy*, 64, p.103955 (2019)).
- [16] Xiao, L., Lin, R., Wang, J., Cui, C., Wang, J. & Li, Z., A novel Hollow-hierarchical Structured Bi<sub>2</sub>WO<sub>6</sub> with Enhanced Photocatalytic Activity for CO<sub>2</sub> Photoreduction. *Journal of colloid and interface science*, 523, pp.2018) 158-151).
- [17] Xiong, Z., Lei, Z., Kuang, C. C., Chen, X., Gong, B., Zhao, Y., & Wu, J. C, Selective Photocatalytic Reduction of CO<sub>2</sub> into CH<sub>4</sub> over Pt-Cu<sub>2</sub>O TiO<sub>2</sub> nanocrystals: The Interaction between Pt and Cu<sub>2</sub>O Cocatalysts, *Applied Catalysis B: Environmental*, 703-695 :202 (2017)).
- [18] Zhang, M., Cheng, G., Wei, Y., Wen, Z., Chen, R., Xiong, J., Li, W., Han, C. & Li, Z., Cuprous ion (Cu<sup>+</sup>) Doping Induced Surface/Interface Engineering for Enhancing the CO<sub>2</sub> Photoreduction Capability of W18O<sub>49</sub> Nanowires. *Journal of Colloid and Interface Science*, (2020).
- [19] Zhao, J., Li, Y., Zhu, Y., Wang, Y. and Wang, C., Enhanced CO<sub>2</sub> Photoreduction Activity of Black TiO<sub>2</sub>-2 coated Cu Nanoparticles under Visible Light Irradiation: Role of Metallic Cu. *Applied Catalysis A: General*, 510, pp.41-34 (2016)).

- [20] Spurr, R.A. & Myers, H. Quantitative Analysis of Anatase-Rutile Mixtures with an X-ray Diffractometer. *Analytical chemistry*, 5)29), pp.1957) ,762-760).
- [21] Miyagi, T., Kamei, M., Mitsuhashi, T., Ishigaki, T., & Yamazaki, A, Charge Separation at the Rutile/Anatase Interface: A Dominant Factor of Photocatalytic Activity, *Chemical Physics Letters*, 2004) 402-399 :(6-4)390).
- [22] Tahir, M. & Amin, N.S., Photocatalytic CO<sub>2</sub> Reduction and Kinetic Study over In/TiO<sub>2</sub> Nanoparticles Supported Microchannel Monolith Photoreactor. *Applied Catalysis A: General*, 467, pp.2013) ,496-483).
- [23] Wetchakun, N., Incessungvorn, B., Wetchakun, K. & Phanichphant, S. Influence of Calcination Temperature on Anatase to Rutile Phase Transformation in TiO<sub>2</sub> Nanoparticles Synthesized by the Modified sol-gel Method. *Materials Letters*, 82, pp.2012) ,198-195).
- [24] Bagwasi, S., Tian, B., Zhang, J., & Nasir, M, Synthesis, Characterization and Application of Bismuth and Boron Co-doped TiO<sub>2</sub>: A Visible Light Active Photocatalyst, *Chemical Engineering Journal*, 2013) 118-108 :217).
- [25] Farbod, M., & Khademalrasool, M, Synthesis of TiO<sub>2</sub> Nanoparticles by a Combined sol-gel Ball Milling Method and Investigation of Nanoparticle Size Effect on Their Photocatalytic Activities, *Powder technology*, 2011) 348-344 :(3)214).
- [26] Tasbihi, M., Fresno, F., Simon, U., Villar-García, I.J., Pérez-Dieste, V., Escudero, C. & Víctor, A., On the Selectivity of CO<sub>2</sub> Photoreduction Towards CH<sub>4</sub> Using Pt/TiO<sub>2</sub> Catalysts Supported on Mesoporous Silica. *Applied Catalysis B: Environmental*, 239, pp.2018) 76-68).
- [27] Abdullah, H., Khan, M. M. R., Ong, H. R., & Yaakob, Z, Modified TiO<sub>2</sub> Photocatalyst for CO<sub>2</sub> Photocatalytic Reduction: An Overview, *Journal of CO<sub>2</sub> Utilization*, 2017) 32-15 :22).
- [28] Dilla, M., Schlögl, R. & Strunk, J., Photocatalytic CO<sub>2</sub> Reduction Under Continuous Flow High-Purity Conditions: Quantitative Evaluation of CH<sub>4</sub> Formation in the Steady-State. *ChemCatChem*, 4)9), pp.-696 2017) ,704).
- [29] Dilla, M., Becerikli, A.E., Jakubowski, A., Schlögl, R. & Ristig, S., Development of a Tubular Continuous Flow Reactor for the Investigation of Improved Gas-Solid Interaction in photocatalytic CO<sub>2</sub> Reduction on TiO<sub>2</sub>. *Photochemical & Photobiological Sciences*, 2)18), pp.2019) ,318-314).
- [30] Walker, R. J., Pougin, A., Oropeza, F. E., Villar-Garcia, I. J., Ryan, M. P., Strunk, J., & Payne, D. J, Surface Termination and CO<sub>2</sub> Adsorption onto Bismuth Pyrochlore oxides, *Chemistry of Materials*, 2015) 96-90 :(1)28).
- [31] Zhao, L., Cui, T., Li, Y., Wang, B., Han, J., Han, L., & Liu, Z, Efficient Visible Light Photocatalytic Activity of p-n Junction CuO/TiO<sub>2</sub> Loaded on Natural Zeolite, *RSC Advances*, 2015) 64502-64495 :(7)5).
- [32] Tasbihi, M., Schwarze, M., Edelmannová, M., Spöri, C., Strasser, P., & Schomäcker, R, Photocatalytic Reduction of CO<sub>2</sub> to Hydrocarbons by Using Photodeposited Pt Nanoparticles on Carbon-doped Titania, *Catalysis Today*, 2019) 14-8 :328).